

© 1992

**ВЛИЯНИЕ БЕСПОРЯДКА В КИСЛОРОДНОЙ ПОДРЕШЕТКЕ
НА СПЕКТРЫ КОМБИНАЦИОННОГО РАССЕЯНИЯ
КРИСТАЛЛОВ $\text{YBa}_2\text{Cu}_3\text{O}_x$. ЭКСПЕРИМЕНТ И РАСЧЕТ**

М. В. Белоусов, И. В. Игнатьев, Н. В. Орехова, В. Ю. Давыдов

Экспериментально исследованы сс-поляризованные спектры комбинационного рассеяния света кристаллов $\text{YBa}_2\text{Cu}_3\text{O}_x$ с различным содержанием кислорода и различной степенью разупорядоченности кислородной подрешетки. Разработана модель динамики решетки и проведен расчет спектра и дисперсии колебаний вдоль оси с для кристалла $\text{YBa}_2\text{Cu}_3\text{O}_6$. Проведен анализ структуры спектров и идентифицированы полосы, обусловленные дефектами кислородной подрешетки. Обсуждается природа дефектных полос и их поведение в зависимости от степени разупорядоченности кислородной подрешетки.

Уже в ранних работах по исследованию спектров КРС кристаллов $\text{YBa}_2\text{Cu}_3\text{O}_x$ были обнаружены «лишние» полосы, возникающие в кристаллах с дефицитом кислорода (см., например, [1–7]). Их появление в спектрах КРС объясняется нарушением правил отбора по волновому вектору фононов из-за дефектности решетки, обусловленной кислородными вакансиями, а также возникновением локальных или квазилокальных колебаний решетки. Эти полосы несут информацию как о природе дефектов, так и о спектре колебаний решетки, запрещенных в совершенном кристалле [8].

В данной работе исследованы сс-поляризованные спектры КРС, индуцированные кислородными вакансиями в кристаллах $\text{YBa}_2\text{Cu}_3\text{O}_x$. Мы выполнили также температурные измерения спектров, нагревая образец непосредственно лазерным излучением различной мощности. Для анализа полученных результатов мы построили модель динамики решетки и провели расчет спектра колебаний для кристалла $\text{YBa}_2\text{Cu}_3\text{O}_6$.

1. Методика и результаты эксперимента

Исследованные в данной работе кристаллы $\text{YBa}_2\text{Cu}_3\text{O}_x$ были выращены методом, описанным в [9], из раствора в расплаве $\text{BaO} + \text{CuO}$. Кристаллы отжигались в течение 6 дней в потоке кислорода при различных температурах в зависимости от требуемого содержания кислорода. Кристаллы имели максимальные размеры $3 \times 3 \times 0.1$ мм³ и обладали естественной зеркальной поверхностью.

Спектры КРС возбуждались аргоновым лазером ЛГН-503 ($\lambda = 488$ нм) и измерялись спектрометром, созданным на базе двойного монохроматора U-1000 (Jobin—Yvon) с голограммическими решетками 1800 штр./мм. Спектрометр снабжен разработанной нами микроприставкой, позволяющей визуально контролировать состояние исследуемой поверхности образца и проводить юстировку осветительной системы. Полное увеличение микроскопа составляло 60^х, увеличение на входной щели спектрометра 8^х. Рассеянный свет регистрировался охлажденным ФЭУ-79, работающим в режиме счета фотонов.

Образец помещался в кювету, через которую продувался гелий для устранения КРС от воздуха. Мощность излучения на образце составляла 10–80 мВт в пятне

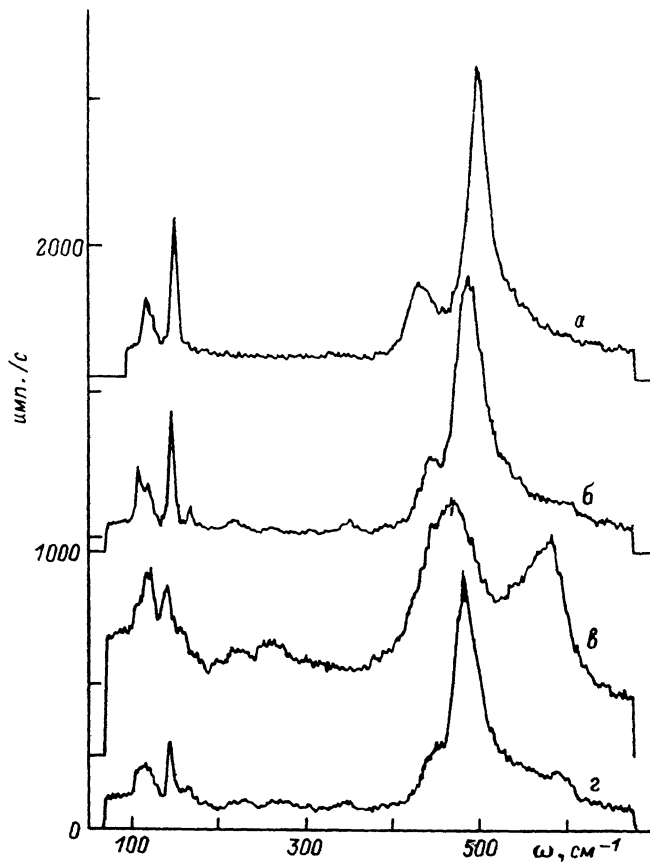


Рис. 1. Спектры КРС кристаллов $\text{YBa}_2\text{Cu}_3\text{O}_x$, измеренные в cc-поляризации.

a — образец 1, $x \approx 6.9$, $T \approx 50^\circ\text{C}$; *b* — образец 2, $x \approx 6.5$, $T \approx 50^\circ\text{C}$; *6* — образец 2, нагретый лазерным излучением (75 мВт) до $T \approx 250^\circ\text{C}$; *2* — образец #2 после лазерного нагрева, $x \approx 6.4$, $T = 50^\circ\text{C}$.

диаметром ≈ 50 мкм. Температура образца оценивалась по соотношению стокс/антистоксовых компонент рассеяния.

Управление спектрометром осуществлялось ЭВМ IBM-PC/AT через специально разработанную микропроцессорную плату SPMETR/1. Накопление и численная обработка данных проводились с помощью интегрированного пакета программ SPLAB.¹ Время накопления спектра в диапазоне частот от 50—700 cm^{-1} со спектральным разрешением 5 cm^{-1} составляло 12 мин.

Мы провели измерение спектров большого количества кристаллов, различающихся как содержанием кислорода, так и условиями их отжига. Типичный вид получаемых спектров показан на рис. 1, 2.

В спектре кристалла с большим содержанием кислорода ($x = 6.9$; рис. 1, *a*) наблюдаются только четыре узкие линии, соответствующие колебаниям решетки вдоль оси с кристалла с симметрией A_g , разрешенным в спектре совершенного кристалла $\text{YBa}_2\text{Cu}_3\text{O}_7$. При уменьшении содержания кислорода в спектрах появляются дополнительные («лициние») полосы (рис. 1, *b*—*2*), которые мы будем называть дефектными. Интенсивность этих полос возрастает с уменьшением содержания кислорода и увеличением температуры кристалла, что позволяет

¹ Пакет разработан Е. Э. Верниковским.

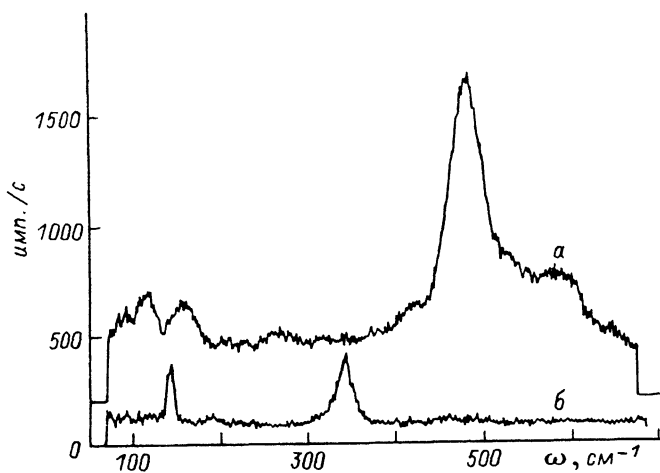


Рис. 2. Спектры КРС закаленного монодоменного кристалла $\text{YBa}_2\text{Cu}_3\text{O}_{6-x}$.
а — cc-поляризация, б — ab-поляризация.

приписать их рассеянию, индуцированному кислородными вакансиями. При лазерном отжиге образца происходят необратимые изменения в спектре (ср. кривые б и г на рис. 1), заключающиеся в том, что интенсивность дефектных полос не уменьшается до первоначальной величины. Спектральное положение дефектных полос мало изменяется с уменьшением содержания кислорода.

На рис. 2 показаны спектры КРС тетрагонального кристалла $\text{YBa}_2\text{Cu}_3\text{O}_x$ ($x \approx 6.4$) в двух разных поляризациях, полученные от одной точки кристалла. Следует обратить внимание на следующее. В аа-поляризации спектр КРС близок к спектру совершенного кристалла: наблюдаются узкие полосы, соответствующие разрешенным колебаниям плоскости $\text{Cu}(2)-0(2,3)$, и практически отсутствуют дефектные полосы. В то же время в cc-поляризации разрешенные линии сильно уширены, а дефектные полосы имеют заметную интенсивность, что характерно для кристалла с большим количеством дефектов.

Анализ измеренных нами спектров КРС показывает, что вид спектра существенно зависит не только от содержания кислорода, но и от режима термообработки образца, в частности от давления кислорода, температуры, времени отжига и скорости охлаждения образца. Для закаленных образцов, получающихся при быстром охлаждении от температуры отжига ($\approx 500^\circ\text{C}$) до комнатной, характерен спектр с большим количеством дефектных полос, достаточно интенсивной полосой с максимумом 590 cm^{-1} и значительно уширенными основными полосами. Тщательный отжиг образцов с последующим медленным охлаждением приводит к сужению основных полос, а также к значительному уменьшению интенсивности и перестройке структуры дефектных полос.

Отмеченные особенности спектров будут обсуждаться подробно ниже при сопоставлении их с результатами расчетов.

Наши результаты в целом хорошо согласуются с полученными ранее результатами [1–7, 10], отличаясь от них лучшим отношением сигнал—шум на низких частотах.

2. Динамическая модель

Существующие динамические модели непригодны для детального анализа измеренных спектров, поскольку даже в лучших из них [11] расхождение между измеренными и вычисленными частотами достигает 70 cm^{-1} . Поэтому мы раз-

Позиции 0(5), не отмеченные на рисунке, расположены посередине между ионами Cu (1) в направлении x .

работали свой вариант модели динамики $\text{YBa}_2\text{Cu}_3\text{O}_6$ в рамках простой оболочечной модели. Мы ограничились расчетом колебаний решетки только вдоль оси c , поскольку именно они формируют исследованные нами спектры КРС. Такое ограничение задачи позволило сократить число параметров, необходимых для описания близкодействия, а также избежать трудностей, связанных с сильной анизотропией физических свойств кристаллов $\text{YBa}_2\text{Cu}_3\text{O}_x$.

В силу симметрии решетки колебания, поляризованные вдоль и поперек оси c , не взаимодействуют между собой, если их волновой вектор лежит в высокосимметричных точках зоны Бриллюэна (000), (100) или (110). Поэтому в этих точках зоны колебания вдоль оси c и вдоль осей a , b можно рассматривать независимо. Такой расчет позволяет получить не только вид колебаний в указанных точках зоны Бриллюэна, но и вычислить примерный ход дисперсионных зависимостей для фононов и плотность поляризованных вдоль оси c колебаний различных подрешеток.

Мы построили динамическую модель и провели подгонку параметров только для кристалла $\text{YBa}_2\text{Cu}_3\text{O}_6$, поскольку для него имеется значительно больше надежных экспериментальных данных, чем для $\text{YBa}_2\text{Cu}_3\text{O}_7$. Эксперимент показывает, что частоты основных полос в спектрах КРС плавно и не очень сильно изменяются при изменении содержания кислорода от $x=6$ до $x=7$. Поэтому можно ожидать, что результаты расчета, полученные для $x=6$, будут пригодны для анализа измеренных спектров КРС.

Взаимодействие между ближайшими соседями в нашей модели описывается пятью подгоночными параметрами (табл. 1). Кулоновское взаимодействие определяется зарядами ионов (Z), оболочек (Y) и константами связи остов—оболочка k . При этом для описания ионов Cu и O, находящихся в разных позициях (1) или (2) (рис. 3), как показал расчет, требуются разные значения этих параметров. Для уменьшения количества подгоночных параметров часть зарядов ионов была выбрана в соответствии с их валентностью. Некоторые из зарядов оболочек были также фиксированы, а варьировались соответствующие константы связи k . При

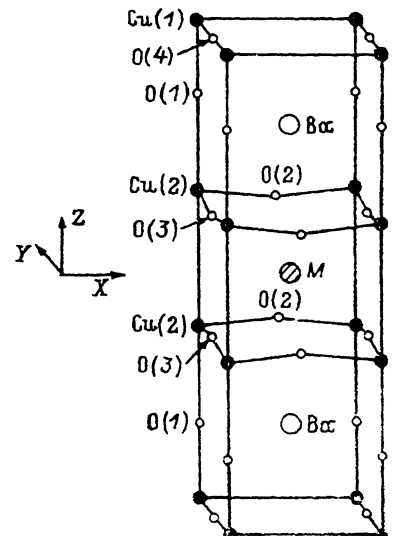


Таблица 1

Параметры оболочечной модели для кристалла $\text{YBa}_2\text{Cu}_3\text{O}_6$: A — константы близкодействующего взаимодействия; Z , Y , k — заряды ионов и их оболочек, а также оболочечные силовые постоянные (V_a — объем элементарной ячейки). Индексом f отмечены значения параметров, которые были фиксированы при подгонке

Взаимодействие	$A (e^2/V_a)$	Ион	$Z (e)$	$Y (e)$	$k (e^2/V_a)$
Y—0 (2, 3)	8.5	Y	2.17	0.0 ^f	∞
Cu (2)—0 (2, 3)	-9	Cu (2)	2.0 ^f	-5.0 ^f	5800
Cu (2)—0 (1)	23	Cu (1)	0.77	-1.6	-1350
Cu (1)—0 (1)	182	O (2.3)	-2.0 ^f	-2.14	280
Ba—0 (2, 3)	56	O (1)	-1.47	-6.3	710
		Ba	2.0 ^f	-15.0 ^f	10250

Таблица 2

Измеренные [12, 14] и вычисленные параметры колебаний в центре зоны Бриллюэна. Смещения ионов приведены только для половины элементарной ячейки между плоскостями ионов Y и Cu (1)

Симметрия	Частота, см ⁻¹		Смещение							Сила осцилляторов	
	$\nu_{\text{эксп}}$	$\nu_{\text{выч}}$	Y	Cu (2)	O (2)	O (3)	Ba	O (1)	Cu (1)	эксп.	выч.
A _{2u}	105	101	.04	-.24	-.16	-.16	.05	.23	.27	1.7	.9
A _{1g}	110	110	.00	-.03	-.08	-.08	-.24	-.03	.00	.0	.0
A _{1g}	140	142	.00	-.33	-.16	-.16	.03	-.02	.00	.0	.0
A _{2u}	146	148	-.29	.11	.06	.06	-.06	.26	.23	2.8	2.0
B _{2u}	—	212	.00	.00	.50	-.50	.00	.00	.00	.0	.0
A _{2u}	215	219	-.26	-.07	.01	.01	.16	-.021	-.10	.4	.1
B _{1g}	340	332	.00	.00	.50	-.50	.00	.00	.00	.0	.0
A _{2u}	367	366	-.01	.15	-.44	-.44	.04	.07	-.05	2.0	1.6
A _{1g}	455	459	.00	-.10	.42	.42	-.02	-.32	.00	.0	.0
A _{1g}	480	484	.00	.06	-.20	-.20	.02	-.63	.00	.0	.0
A _{2u}	645	644	.02	.04	-.06	-.06	-.02	-.55	.30	.2	.1

Диэлектрическая проницаемость: $\epsilon_\infty = 3.7$ (эксп.), $\epsilon_\infty = 2.55$ (выч.).

в этом использовалась определенная корреляция между Y и k, характерная для оболочечной модели.

При определении значений параметров модели использовались частоты КР-активных колебаний [12], поперечных и продольных ИК-активных колебаний [13, 14] и акустических колебаний на границе зоны Бриллюэна с волновым вектором $q = (100)$ [15].

Полученные значения параметров приведены в табл. 1. Обращает на себя внимание явно нефизичное отрицательное значение параметра k для иона Cu(1), соответствующее отталкиванию электронной оболочки от остова иона. Это указывает на ограниченность оболочечной модели, не позволяющей корректно описать взаимодействие ионов Cu(1)–O(1). Возможно, это связано с наличием существенного переноса заряда между этими ионами, уже обсуждавшегося другими авторами [16]. Аналогичный эффект возможен для пар ионов Cu(2)–O(2) и Cu(2)–O(3), однако в нашей модели он не проявляется, поскольку мы рассматриваем колебания поперек связей между этими ионами.

В табл. 2 приведены результаты расчетов для фононов центра зоны Бриллюэна. Смещения каждого иона вычислены как соответствующие компоненты собственных векторов колебаний, деленные на корень квадратный из отношения массы данного иона к массе кислорода. Силы осцилляторов вычислялись по формулам, приведенным в работе [14].

Видно, что расчетные и экспериментальные частоты колебаний отличаются менее чем на 10 см⁻¹. В то же время расчетные силы осцилляторов примерно в 1.5 раза меньше экспериментальных. Это различие обусловлено заниженным значением электронной поляризуемости, поскольку LO–TO расщепление колебаний воспроизводится хорошо. Необходимо отметить, что заниженное значение ϵ_∞ характерно для оболочечной модели.

На рис. 4 показаны вычисленные нами дисперсионные кривые в направлении [100] и [110]. Там же приведены частоты фононов, полученные по данным нейтронной, ИК- и КР-спектроскопии. В области 200–400 см⁻¹ поведение расчетных дисперсионных зависимостей качественно согласуется с полученными из нейтронных данных. О количественном согласии говорить трудно в силу невысокой точности нейтронных данных, как это видно из сравнения их с данными ИК-

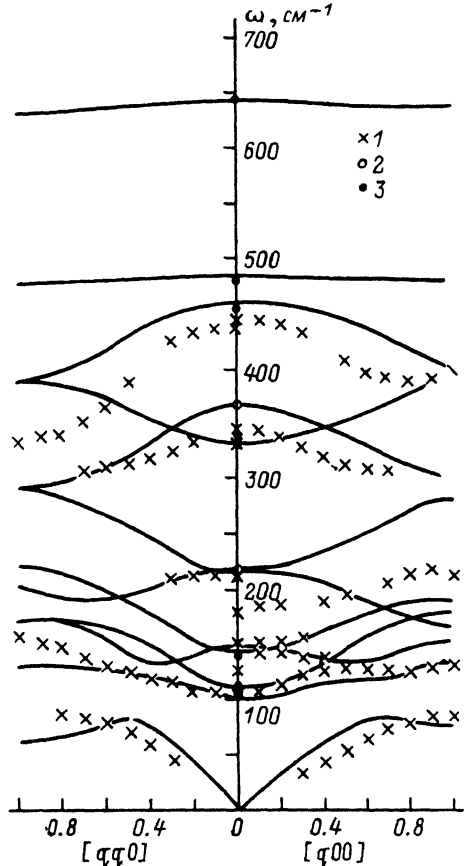


Рис. 4. Дисперсионные зависимости для частот фононов в кристалле $\text{YBa}_2\text{Cu}_3\text{O}_6$ в направлениях $[q_00]$ и $[qq0]$ в зоне Бриллюэна.

Сплошные линии — расчет, 1 — нейтронные данные [15], 2 — данные ИК-спектроскопии [14], 3 — данные КР-спектроскопии [12].

и КР-спектроскопии для фононов центра зоны Бриллюэна. В области до 200 cm^{-1} сравнение нейтронных данных с расчетом затруднено из-за тесного расположения дисперсионных кривых.

Дисперсия частот фононов, распространяющихся вдоль оси c , не рассматривалась, поскольку известно, что она мала для большинства колебаний (за исключением акустических).

Полная плотность колебаний вдоль оси c (c -поляризованных колебаний) и плотности колебаний ионов в различных подрешетках показана на рис. 5.

3. Обсуждение результатов

Известно, что кислородная подрешетка в $\text{YBa}_2\text{Cu}_3\text{O}_x$ обладает высокой подвижностью (лабильностью). Подвижность обусловлена наличием в кристалле цепочек вакансий $\text{O}(5)$, параллельных цепочкам $\text{Cu}(1)-\text{O}(4)$ и образующих «каналы», по которым кислород сравнительно легко мигрирует по решетке. Потеря кислорода приводит к образованию кислородных вакансий в цепочках $\text{Cu}(1)-\text{O}(4)$ и появлению кислорода в позициях $\text{O}(5)$. При $x < 6.4$ подрешетка

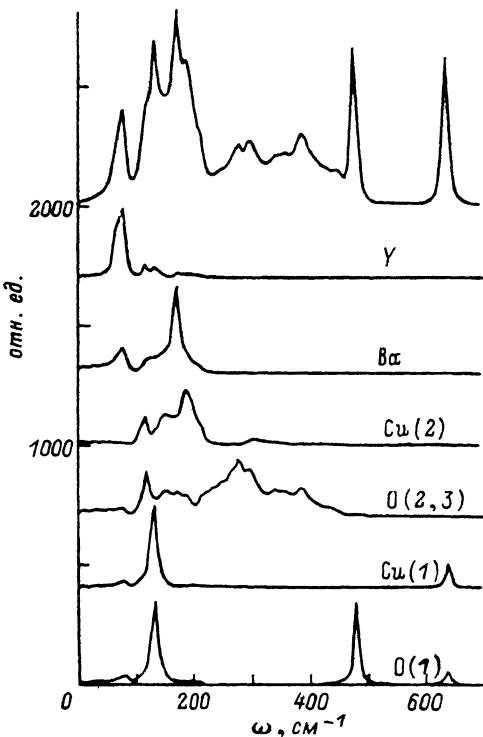


Рис. 5. Полная (вверху) и парциальные плотности колебаний различных подрешеток вдоль оси c .

(4,5) полностью разупорядочивается, заселенности позиций O(4) и O(5) выравниваются и происходит переход от орторомбической к тетрагональной фазе $\text{YBa}_2\text{Cu}_3\text{O}_x$.

Появление вакансий O(4) может приводить к различным нарушениям динамики решетки совершенного кристалла, наиболее сильным для ионов, расположенных в непосредственной близости к вакансии. Однако вакансии O(4) не нарушают локальную зеркальную симметрию решетки относительно плоскости Cu(1)—O(4,5). Вследствие этого с-поляризованный спектр КРС не должен содержать компонент, обусловленных колебаниями ионов O(4) и O(5). Небольшие отклонения от зеркальной симметрии, обнаруженные в работе [17], не должны приводить к заметному проявлению этих колебаний в силу того, что тензоры поляризуемости ионов O(4) и O(5) ориентированы вдоль связей их с ионами Cu(1) и, следовательно, поперек оси с кристалла.

В спектрах КРС закаленных или нагретых образцов наблюдается дефектная полоса с максимумом $\approx 590 \text{ cm}^{-1}$, особенности поведения которой нельзя объяснить наличием вакансий в подрешетке O(4). Ее частота находится в области провала в плотности фононных состояний кристалла $\text{YBa}_2\text{Cu}_3\text{O}_6$ (рис. 5) и близка к частоте ИК-активных колебаний в кристалле $\text{YBa}_2\text{Cu}_3\text{O}_7$, в которых участвуют ионы O(1) и O(4). Она сильно поляризована: хорошо наблюдается в с-поляризации и практически не видна в а-поляризации (рис. 2). Интенсивность полосы изменяется от образца к образцу некоррелированным образом с изменением интенсивности других дефектных полос. Наконец, она резко возрастает при нагревании образца до сравнительно невысоких температур, при которых не происходит потери кислорода [10].

Отмеченные особенности поведения позволили авторам [2, 18] сделать обоснованное, на наш взгляд, предположение, что появление полосы 590 cm^{-1} в спектре КРС обусловлено вакансиями мостикового кислорода O(1), которые приводят к резкой асимметрии решетки относительно плоскости Cu(1)—O(4,5). В результате этого в спектре должны проявляться колебания парного с вакансией кислорода O(1). Возможность образования вакансий O(1) подтверждается также прямыми экспериментами [18]. Простые качественные соображения позволяют легко понять причину подвижности кислорода O(1) при нагревании кристалла. Расстояние между позициями O(1) и O(5) близко к расстоянию между O(4) и O(5). Частоты колебаний ионов O(1) и O(4) вдоль связи их с ионом Cu(1) также близки. Поэтому следует ожидать, что энергии активации перескоков ионов O(1) и O(4) в позиции O(5) будут одного порядка величины.

Закалка кристалла приводит к замораживанию неравновесного для комнатной температуры распределения кислорода по различным позициям, при котором часть позиций O(1) остается незаполненной. В хорошо отожженном кристалле позиции O(1) практически полностью заполнены, о чем свидетельствуют прямые измерения [18] и малая интенсивность полосы 590 cm^{-1} , и остаются лишь вакансии O(4).

При анализе природы дефектных полос в области $80-400 \text{ cm}^{-1}$ мы можем воспользоваться результатами численных расчетов. При этом мы будем предполагать, что частоты колебаний ионов, удаленных от плоскости Cu(1)—O(4,5), мало изменяются при образовании вакансии O(4).

Фактически мы рассматриваем следующую модель (модель светящихся дефектов). Вакансии O(4) не вносят никакого возмущения в колебания решетки, но изменяют с-компоненту тензора поляризуемости связей и электронных оболочек ионов в окрестности дефекта. Это приводит к нарушению трансляционной симметрии и индуцирует КРС на колебаниях с ненулевым волновым вектором. Очевидно, что изменение поляризуемости одного иона приводит к появлению в КРС спектра локальной плотности колебаний этого иона. В случае ансамбля некоррелированных дефектов, принадлежащих одной подрешетке, в спектрах КРС должна проявляться плотность колебаний подрешетки.

Эта модель достаточно правдоподобна для ионов плоскости Cu(2)—O(2, 3). Подтверждением этому может служить спектр на рис. 2, б. Малая ширина полос, соответствующих разрешенным колебаниям плоскости Cu(2)—O(2, 3), и отсутствие дефектных полос в аа-поляризации говорят о слабом возмущении колебаний плоскости со стороны вакансий O(4). Кроме того, это говорит о слабом возмущении аа- и bb-компонент тензора поляризуемости кристалла, в то время как возмущение cc-поляризуемости не мало.

В области 200—400 см⁻¹ заметную плотность имеют только колебания ионов O(2, 3). Расчет парциальных плотностей с-колебаний в модели [11] для YBa₂Cu₃O₇ также показывает, что область частот 250—450 см⁻¹ практически полностью сформирована колебаниями ионов O(2, 3). Это позволяет сделать вывод, что все дефектные полосы, наблюдаемые в cc-поляризованном спектре КРС в области 200—400 см⁻¹ (рис. 1), обусловлены колебаниями ионов O(2, 3).

Спектр КРС нагретого образца (рис. 1, в) качественно похож на спектр плотности состояний O(2, 3) (рис. 5), за исключением «лишней» полосы с максимумом ≈ 220 см⁻¹. Это можно объяснить разупорядочиванием кислородной подрешетки при нагревании, приводящим к образованию ансамбля некоррелированных светящихся дефектов. Главный дефектный пик с максимумом ≈ 270 см⁻¹, по-видимому, индуцирован колебаниями с большим волновым вектором, генетически происходящими из ИК-активных колебаний A_{2u} с частотами 215 и 367 см⁻¹ для YBa₂Cu₃O₆, а также колебаниями B_{2u} (рис. 4).

Образование вакансий мостикового кислорода O(1) при нагревании кристалла приводит к коррелированному возмущению ближайших к ним ионов O(2) и O(3). Спектр КРС, формируемый колебаниями этих ионов, в рамках модели светящихся дефектов можно вычислить по формуле

$$I(\omega) \sim \sum_{\mathbf{q}, j} |\sum_n \langle 0 | U_n | \mathbf{q} j \rangle|^2 \delta(\omega - \omega_{\mathbf{q} j}),$$

где 0 | U_n | qj — матричный элемент смещения иона n в фононной моде qj (q — волновой вектор, j — номер дисперсионной ветви). Суммирование проводится по всем светящимся дефектам (в данном случае — по четырем) и по всей зоне Бриллюэна с условием, что фононная частота ω_{qj} равна заданной частоте ω. Мы провели такой расчет и обнаружили, что в расчетном спектре имеется особенность, аналогичная наблюдаемой в спектре КРС на частоте 220 см⁻¹ (рис. 1, в) и отсутствующая в спектре колебаний подрешетки O(2,3). Это позволяет объяснить ее появление в спектре КРС образованием вакансий O(1) при нагревании кристалла.

Спектры КРС как до, так и после лазерного отжига образца (рис. 6) отличаются от плотности колебаний O(2, 3) наличием особенностей с частотами ≈ 220 и 350 см⁻¹. Мы предположили, что эти особенности обусловлены упорядочением вакансий O(4). В пользу такого предположения говорит небольшая ширина особенностей, сравнимая с шириной основных полос в спектре кристалла хорошего качества. Электронографические данные [19] для кристаллов с содержанием кислорода x = 6.5 также указывают на образование сверхструктуры кристалла.

Мы рассчитали спектр КРС, формируемый колебаниями цепочки из нескольких ионов O(2) (рис. 6, г), по формуле, аналогичной приведенной выше, предполагая, что упорядочение вакансий приводит к их кластеризации. Видно, что в расчетном спектре действительно появляются особенности на частотах, близких к наблюдаемым. Лазерный отжиг приводит к частичному разупорядочиванию кислородной подрешетки, что приводит к появлению полосы 270 см⁻¹.

В области 80—200 см⁻¹ колебания всех ионов решетки YBa₂Cu₃O₆ имеют плотность, существенно отличную от нуля. Кроме того, колебания ионов Ba, непосредственно связанных с ионом O(4), могут существенно модифицироваться

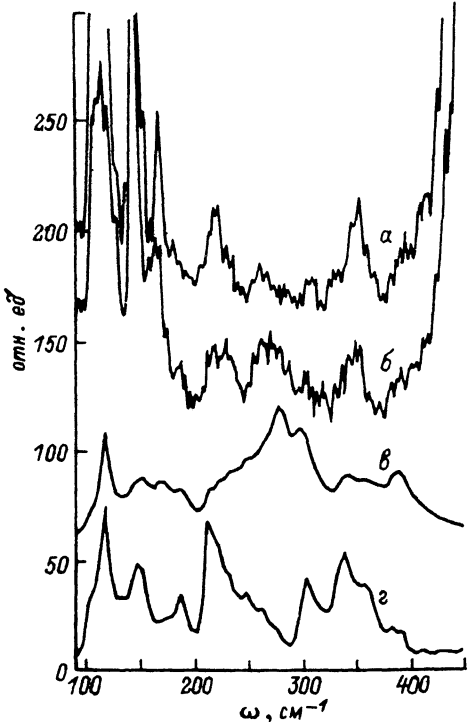


Рис. 6. Сравнение фрагментов сс-поляризованного спектра КРС, индуцированного кислородными вакансиями в кристалле $\text{YBa}_2\text{Cu}_3\text{O}_{6.5}$, до (α) и после лазерного отжига (β) со спектром плотности колебаний одиночных ионов $\text{O}(2)$ (γ) и цепочки пяти ионов $\text{O}(2)$ (δ).

при образовании вакансии $\text{O}(4)$. Все это в совокупности с недостаточной точностью расчета дисперсии частот фононов в этой области спектра не позволяет нам однозначно идентифицировать дефектные полосы.

Необходимо отметить, что вид спектральных особенностей в области $80-200 \text{ cm}^{-1}$ достаточно сильно зависит от степени упорядоченности кислородной подрешетки. В хорошо отожженном кристалле структура спектра достаточно резкая: основные полосы имеют малую ширину, а дефектные полосы наблюдаются в виде отдельных максимумов (рис. 1, β). При лазерном отжиге эта структура несколько размывается (рис. 1, γ). А при нагреве образца (рис. 1, δ) или его закалке (рис. 2, α), когда происходит сильное разупорядочивание кислородной подрешетки, спектр КРС

становится похожим на спектр полной плотности колебаний решетки вдоль оси кристалла (ср. с рис. 5).

4. Заключение

Проведенный анализ структуры спектров КРС позволяет установить природу наблюдавшихся дефектных полос в кристаллах $\text{YBa}_2\text{Cu}_3\text{O}_x$, а также обнаружить ряд проявлений упорядочивания кислородной подрешетки.

Высокочастотная полоса 590 cm^{-1} , по-видимому, обусловлена вакансиями мостикового кислорода $\text{O}(1)$, приводящими к резкой асимметрии решетки относительно плоскости $\text{Cu}(1)-\text{O}(4, \delta)$ и проявлению в спектре КРС колебаний парного с вакансиею кислорода $\text{O}(1)$. Вакансии $\text{O}(1)$ образуются при нагревании кристалла, а также при его закалке. В хорошо отожженном кристалле они практически отсутствуют.

Все дефектные полосы, наблюдавшиеся в сс-поляризованных спектрах КРС кристаллов с дефицитом кислорода в области $200-400 \text{ cm}^{-1}$, индуцированы колебаниями ионов $\text{O}(2,3)$, поляризуемость которых возмущена вакансиями $\text{O}(4)$. При отжиге кристаллов происходит упорядочивание вакансий и их кластеризация, что обуславливает появление в спектре КРС дефектных полос на частотах 220 и 350 cm^{-1} . Лазерный отжиг образца частично разрушает этот порядок, что обуславливает необратимые изменения в спектре КРС. Нагревание кристалла приводит к разупорядочиванию кислородной подрешетки, в результате которого спектр КРС в области $200-400 \text{ cm}^{-1}$ становится похожим на спектр с-поляризованных колебаний подрешетки $\text{O}(2, 3)$. Возникающие при этом вакансии $\text{O}(1)$ обуславливают появление в спектре КРС нагретого кристалла полосы 220 cm^{-1} .

Вид спектральных особенностей в области $80-220 \text{ cm}^{-1}$ достаточно сильно зависит от степени упорядоченности кислородной подрешетки. Однако

идентификация отдельных дефектных полос затруднена. Отметим только, что в кристаллах с разупорядоченной кислородной подрешеткой эта область спектра КРС становится похожей на спектр полной плотности с-поляризованных колебаний.

Работа выполнена в рамках проектов № 502 и № 354 Научного совета по проблеме ВТСП.

Список литературы

- [1] Kirillov D., Collman J. P., McDevitt J. T., Yee G. T., Holcomb M. J., Bozovic I // Phys. Rev. B. 1988. V. 37. N 7. P. 3660—3663.
- [2] McCarty K. F., Hamilton J. C., Shelton R. N., Ginley D. S. // Phys. Rev. B. 1988. V. 38. N. 4. P. 2914—2917.
- [3] Баженов А. В., Гаспаров Л. В., Кулаковский В. Д., Мисочко О. В., Осилян Ю. А., Тимофеев В. Б. // Письма в ЖЭТФ. 1988. Т. 47. № 3. С. 162—165.
- [4] Гончаров А. Ф., Денисов В. Н., Маврин Б. Н., Подобедов В. Б. // ЖЭТФ. 1988. Т. 94. № 11. С. 321—327.
- [5] Белоусов М. В., Давыдов В. Ю., Карманенко С. Ф., Косогов О. В. // Письма в ЖЭТФ. 1988. Т. 48. № 5. С. 285—287.
- [6] Поносов Ю. С., Болотин Г. А., Гурин О. В. // Письма в ЖЭТФ. 1988. Т. 48. № 7. С. 380—383.
- [7] Белоусов М. В., Давыдов В. Ю. // Сб. «Высокотемпературная сверхпроводимость» / Под ред. А. А. Киселева. Л.: Изд-во ЛГУ, 1989. В. 2. С. 29—54.
- [8] Belousov M. V., Ignatiev I. V., Orekhova N. V., Moshkin S. V., Vlasov M. Yu. // Proc. of the IV Bilateral Soviet—German Seminar on High—Temperature Superconductivity. St. Petersburg, October, 1991.
- [9] Мошкин С. В., Кузьмина М. А., Нардов А. В., Власов М. Ю. // Сб. «Высокотемпературная сверхпроводимость» / Под ред. А. А. Киселева. Л.: Машиностроение, 1990. В. 1. С. 61—189.
- [10] Burns G., Dacol F. H., Feild C., Holtzberg F. // Solid State Commun. 1990. V. 75. N 11. P. 893—896.
- [11] Kress W., Schröder U., Prade J., Kulkarni A. D., De Wette F. W. // Phys. Rev. B. 1988. V. 38. N 4. P. 2906—2909.
- [12] Macfarlane R. M., Rosen H. J., Engler E. M., Jacowitz R. D., Lee V. Y. // Phys. Rev. B. 1988. V. 38. N 1. P. 284—289.
- [13] Bazhenov A. V., Timofeev V. B. // Physica C. 1989. V. 162—164. P. 11.
- [14] Bauer M., Ferreira I. B., Genzel L., Cardona M., Murugaraj P., Maier J. // Solid State Commun. 1989. V. 72. N 6. P. 551—554.
- [15] Pintschovius L., Pyka N., Reichardt W., Rumiantsev A. Yu. // Proceedings of the third German—Soviet Bilateral Seminar on High—Temperature Superconductivity. Karlsruhe, October 1990.
- [16] Batistic I., Bishop A. R., Martin R. L., Tesanovic Z. // Phys. Rev. B. 1989. V. 40. N. 10. P. 6896—6901.
- [17] Mustre de Leon J., Conradson S. D., Batistic I., Bishop A. R. // Phys. Rev. B. 1991. V. 44. N 5. P. 2422—2425.
- [18] Jorgensen J. D., Veal B. W., Paulicas A. P., Nowicki L. J., Grabtree G. W., Claus H., Kwok W. K. // Phys. Rev. B. 1990. V. 41. N 4. P. 1863—1877.
- [19] Werder D. J., Chen C. H., Cava R. J., Batlogg B. // Phys. Rev. B. 1988. V. 38. N 7. P. 5130—5133.

Санкт-Петербургский
государственный университет

Поступило в Редакцию
30 марта 1992 г.